

تحلیل خطر زمین لرزه بر اساس بیشینه شتاب با استفاده از رهیافت تعیینی  
(مطالعه موردی: شهرستان سمنان)

فاطمه نیکوکار<sup>۱</sup> - دانشجوی کارشناسی ارشد ژئوفیزیک، دانشگاه پیام نور مرکز تهران شرق، ایران.  
محمد آریامنش - دانشیار ژئوفیزیک، دانشگاه پیام نور مرکز تهران شرق، ایران.

تاریخ دریافت: ۱۳۹۶/۶/۱۲ تاریخ تصویب: ۱۳۹۷/۴/۱۱

## چکیده

کشور ایران به دلیل شرایط زمین شناسی و جغرافیایی خاص، همیشه در معرض خطرات طبیعی مختلفی بوده است. یکی از این بلایا، زمین لرزه است که آسیب های قابل توجهی را بر پیکره اقتصادی و اجتماعی کشور تحمیل کرده است. این مسئله به ویژه در مناطق دارای گسل های فعال تهدیدی جدی محسوب شده و هر ساله خسارت های جانی و مالی غیر قابل اغماضی به بار می آورد. از این رو توجه به اهمیت مکان یابی و پهنه بندی مناطق پرخطر از نظر دارا بودن پتانسیل خطر لرزه خیزی امری ضروری و قابل توجه است. بر همین اساس در پژوهش حاضر با استفاده از رهیافت تعیینی به تعیین مناطق پرخطر لرزه خیز پرداخته شده است. به همین منظور گسل های منفرد و سامانه های گسلی مهم موجود در منطقه ابتدا به کمک تکنیک های سنجش از دور، روی تصاویر ماهواره ای لندست ۸ شناسایی شدند. در گام بعدی با توجه به ویژگی های زمین شناسی و تکتونیکی منطقه به قطعه بندی زمین شناختی و لرزه ای منطقه مورد مطالعه پرداخته شد و سازوکار گسل ها مشخص شدند و نقشه رقومی گسل ها در محیط نرم افزار Arc GIS تهیه شد. سپس با استفاده از معادلات تجربی معتبر، بیشینه بزرگای مورد انتظار گسل های اصلی منطقه محاسبه و میانگین گیری انجام شد. در نهایت با انتخاب چند رابطه کاهندگی معتبر بیشینه شدت و شتاب افقی زمین لرزه برای منطقه مورد مطالعه، با استفاده از رهیافت تعیینی، محاسبه شده و میانگین مقادیر محاسبه شده به عنوان بیشینه شدت و شتاب زمین مربوط به هر گسل، برای تحلیل خطر منطقه مورد مطالعه استفاده شد. نتایج حاصل از پژوهش نشان داد بیشینه شدت زمین لرزه بیش از  $VIII^+$  مرکالی و کمترین میزان آن نیز  $V$  مرکالی است. هم چنین میزان بیشینه شتاب افقی زمین لرزه در منطقه مورد مطالعه  $0.37g$  و کمترین مقدار آن نیز  $0.05g$  بود. بر همین اساس طبق نتایج به دست آمده مناطق با پتانسیل خطر پذیری کم، دارای

خطر متوسط، خطرپذیری بالا و مناطق با خطرپذیری بسیار بالا، بر اساس مقادیر بیشینه شدت زمین‌لرزه به ترتیب، ۱۷/۴۵، ۲۴/۸۱، ۳۳/۶۲ و ۲۴/۱۰ درصد و بر اساس مقادیر بیشینه شتاب زمین‌لرزه به ترتیب، ۳۶/۳۴، ۲۹/۷۷، ۱۷/۷۲ و ۱۶/۱۷ درصد از مساحت منطقه مورد مطالعه را تشکیل می‌دهند. در نهایت به منظور بررسی میزان صحت پژوهش انجام شده نتایج حاصله با نمونه‌های رخداد واقعیت زمینی تطابق داده شد و نتایج نشان دهنده تطابق قابل ملاحظه نتایج به دست آمده با واقعیت زمینی بود.

**کلیدواژه‌ها:** زمین‌لرزه، سامانه اطلاعات جغرافیایی، روش قطعی، تحلیل خطر تعینی.

#### ۱- مقدمه

زمین‌لرزه به عنوان مخرب‌ترین حادثه طبیعی، یکی از مهم‌ترین عوامل تلفات بشری و خسارات اقتصادی قابل توجه در کشور ما محسوب می‌شود (قهرودی‌تالی و همکاران، ۱۳۹۱). با توجه به موقعیت خاص جغرافیایی و زمین‌شناسی کشورمان و قرارگیری آن در کمربند زمین‌لرزه خیز آلپ هیمالیا، به طور متوسط هر ساله حدود ۲۵۰ زمین‌لرزه با بزرگی ۴ تا ۴/۹ در مقیاس امواج درونی زمین، ۲۵ زمین‌لرزه با بزرگی بین ۵ تا ۵/۹ و دو زمین‌لرزه با بزرگی ۶ تا ۶/۹ رخ می‌دهد. این در حالی است که احتمال رخداد زمین‌لرزه با بزرگی ۷ تا ۷/۹ هم حدوداً ۰/۲ است؛ به عبارتی هر پنج سال یک مورد از چنین زمین‌لرزه‌های به وقوع می‌پیوندد (زارع، ۱۳۸۴). در همین راستا سوابق و گزارش‌های تاریخی نشان می‌دهد سالانه زمین‌لرزه‌های ویرانگر متعددی مناطق مختلف کشورمان را لرزاند و باعث مرگ و میر تعداد زیادی از هم‌وطنانمان شده است. بر این اساس، ایران به عنوان یکی از آسیب‌پذیرترین کشورها در برابر زمین‌لرزه‌ها معرفی شده است؛ به صورتی که طبق آمارهای موجود ایران جزء ده کشور حادثه‌خیز دنیا می‌باشد (مرکز تحقیقات زیست‌محیطی تهران، ۱۳۸۰). این آسیب‌پذیری از دو عامل جای‌گیری شهرها و روستاها در مناطق زمین‌لرزه‌خیز کشور و ساخت‌وسازهای غیرمقاوم در برابر زمین‌لرزه ناشی می‌شود. بر همین اساس برای جلوگیری و کاهش خسارات جانی و مالی راهکارهای مدیریتی گوناگونی توسط پژوهشگران مختلف ارائه شده است که از جمله این راهکارها می‌توان به پیش‌بینی و پهنه‌بندی مناطق دارای پتانسیل خطر لرزه‌خیزی اشاره نمود. برای تحلیل خطر زمین‌لرزه و پهنه‌بندی مناطق دارای پتانسیل خطر از دو روش تعینی (DSHA)<sup>۱</sup> و احتمالاتی (PSHA)<sup>۲</sup> استفاده می‌شود. روش احتمالی روشی است که با استفاده از آن می‌توانیم برخی از عدم قطعیت‌های موجود در خطر زمین‌لرزه را مدل کنیم. اما تمام عدم قطعیت‌های موجود در خطر لرزه‌ای ماهیت احتمالی ندارند و با روش احتمالی نمی‌توان آنها را مدل کرد. در همین راستا در داخل کشور، تاکنون مطالعات ارزشمندی درباره گسل‌ها و مشخص نمودن نواحی آسیب‌پذیر صورت گرفته از جمله صفایی در طرح پژوهشی گسل‌های جدیدی در شعاع ۱۰۰ کیلومتری شهر اصفهان شناسایی

1 Deterministic

2 Probabilistic

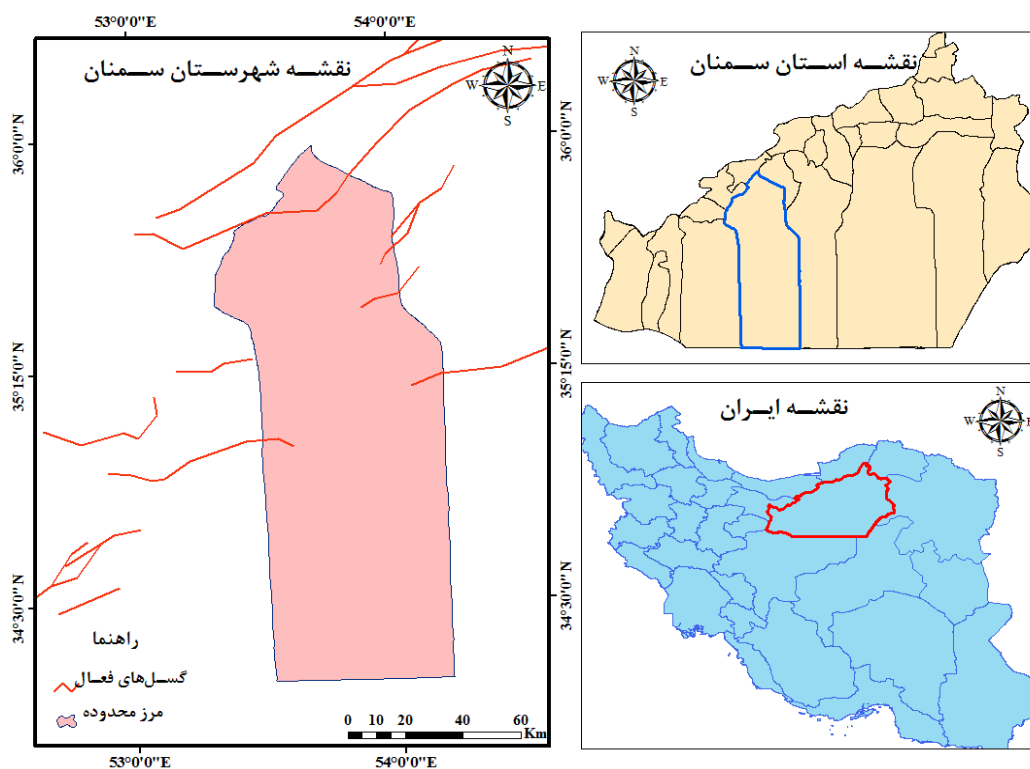
کرده است (صفایی، ۱۳۸۲)، هم‌چنین شاهپسندزاده و حیدری لرزه زمین ساخت و تاریخچه لرزه خیزی استان اصفهان به صورت مقدماتی را بررسی کرده‌اند (شاهپسندزاده و حیدری، ۱۳۸۲). از سوی دیگر مهاجر اشجعی به ثبت و تفسیر زمین لرزه‌های مناطق اصفهان و شهرکرد پرداخت (مهاجر اشجعی، ۱۳۶۰). حاتمی نژاد و همکاران میزان آسیب پذیری لرزه‌های در شهر در منطقه ۱۰ تهران را ارزیابی کردند (حاتمی نژاد و همکاران، ۱۳۸۸). در زمینه پژوهش‌های خارجی King & Kiremidndjian در پژوهشی در منطقه پلوآتو کالیفرنیا خطر زمین لرزه و تخمین خسارات ناشی از آن را با سیستم اطلاعات جغرافیایی بررسی کرده‌اند (King & Kiremidndjian, 1995). در این پژوهش بعد از بررسی لایه-های مختلف، در نهایت نقشه‌های پهنه‌بندی استخراج گردیده است. Matsuoka در پژوهشی نقشه خطر لرزه‌ای برای یک کلان شهر با نواحی اطرافش را با استفاده از پایگاه‌های داده‌های سیستم اطلاعات جغرافیایی در ژاپن تهیه کرده - است (Matsuoka, 1995). Lee et al. (2000) به تجزیه و تحلیل خطر لرزه‌ای در منطقه هنگ کنگ بر اساس زمین لرزه‌های ثبت شده پرداخته‌اند. Yuan (2003) راه‌های توسعه استفاده از سیستم اطلاعات جغرافیایی برای ارزیابی خطر زمین لرزه را مورد بررسی قرار داده است. Kamp et al. (2008) با استفاده از سیستم اطلاعات جغرافیایی به بررسی و تهیه نقشه حساسیت زمین لرزه برای زمین لرزه سال ۲۰۰۵ منطقه کشمیر پرداخته‌اند. Feng et al. (2008) در پژوهشی به شبیه‌سازی فاجعه زمین لرزه برای یک منطقه شهری با ادغام داده‌های سیستم اطلاعات جغرافیایی، CAD، FEA و VR پرداخته‌اند. به همین دلیل تهیه نقشه‌های پهنه‌بندی خطر زمین لرزه و لرزه خیزی برای هر منطقه به عنوان یکی از مهم‌ترین تحقیقات پایه در طرح‌های عمرانی تلقی می‌گردد. مطالعات لرزه خیزی یک منطقه نیازمند وجود اطلاعات لرزه‌ای است و مادامی که این اطلاعات کامل نباشد، تحلیل درستی از وضعیت لرزه خیزی به دست نخواهد آمد. بخشی از این اطلاعات به میزان ذخیره و دقت داده‌های لرزه‌ای دستگاهی و تاریخی و بخش دیگری به ارزیابی‌های نوزمین ساخت و زمین ساخت فعال در آن منطقه بستگی دارد. استان سمنان به لحاظ وسعت، ششمین استان کشور محسوب می‌شود. بخش صنعت استان به خاطر نزدیکی به استان تهران، دارا بودن شبکه ارتباطی پیشرفته و راه‌آهن با استان‌های تهران، خراسان، مازندران و جنوب کشور (به‌ویژه راه جدیدالاحداث استان سمنان به استان اصفهان) و کشف ذخایر معدنی مهم، طی سال‌های اخیر از اهمیتی ویژه برخوردار شده است. در این پژوهش ضمن بازنگری موقعیت گسل‌های فعال و هم‌چنین با استفاده از برآورد توان لرزه‌زایی هر کدام از گسل‌ها مدل پهنه‌بندی تعیینی نیز برای منطقه مورد مطالعه ارائه خواهد شد بر اساس نتایج به دست آمده از بیشینه شتاب افقی هر گسل، منطقه مورد مطالعه به پهنه‌های دارای پتانسیل خطر لرزه خیزی مختلف تقسیم بندی خواهد شد. تحلیل خطر زمین لرزه در پژوهش حاضر بر اساس روش تعیینی انجام شده است. در واقع مزیت روش تعیینی این است که نیاز به تحلیل‌های آماری زمین لرزه‌ها برای تعیین فرآیندهای وابسته به زمان در رویداد زمین لرزه‌ها مانند نرخ لغزش و نرخ رویداد سالانه زمین لرزه ندارد. شناسایی چشمه‌های لرزه‌زا و تحلیل خطر لرزه‌ای به روش تعیینی ارتباط مستقیم با فعالیت‌های

زمین ساخت جوان دارد. فعالیت‌هایی که حتی احتمال وقوع آن‌ها می‌تواند جوامع بشری را تهدید نماید. امروزه دامنه کاربرد این گونه مطالعات بیش از پیش گسترش یافته و به عنوان مطالعات زیر بنایی برای توسعه خطوط انتقال آب، گاز و نفت، احداث سازه‌های مختلف از جمله تونل، جاده، سد، خط آهن و نیروگاه‌ها در یک منطقه، اهمیت ویژه‌ای پیدا کرده است. در همین راستا تاکنون پژوهش‌های مختلفی صورت گرفته است.

## ۲- مواد و روش

### ۲-۱- موقعیت جغرافیایی منطقه مورد مطالعه

پژوهش حاضر در شهرستان سمنان به مساحت  $11017/8$  کیلومتر مربع که از غرب به شهرستان گرمسار و بخش فیروز کوه، از شرق به شهرستان دامغان، از جنوب به کویر مرکزی ایران، شهرستان نائین و استان اصفهان و از شمال به شهرستان ساری در استان مازندران محدود می‌شود صورت گرفته است. حداکثر ارتفاع شهرستان از سطح دریا  $2065$  متر و در حداقل طول شرقی  $52$  درجه و  $46$  دقیقه و حداقل عرض شمالی  $35$  درجه و  $15$  دقیقه واقع شد است. شکل (۱) موقعیت منطقه مورد مطالعه را در ایران و استان سمنان و همچنین گسل‌های فعال منطقه مورد مطالعه را نشان می‌دهد.

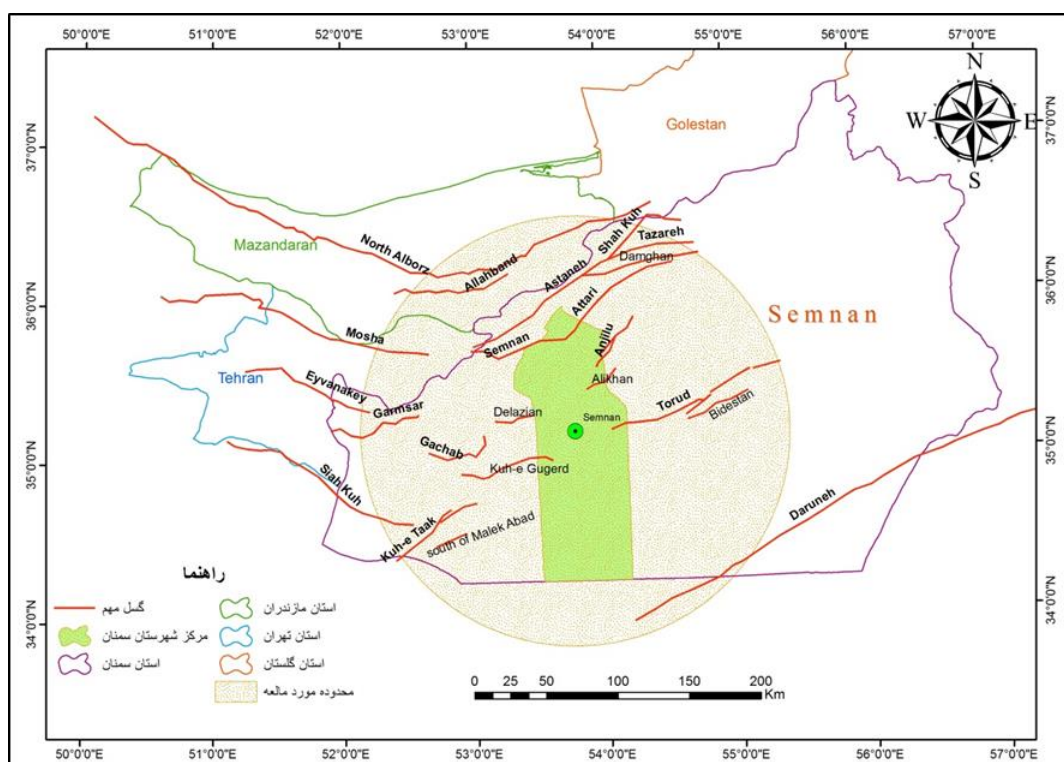


شکل ۱- نقشه موقعیت جغرافیایی و گسل‌های موجود در منطقه مورد مطالعه

## ۲-۲- مراحل تحلیل خطر زمین‌لرزه با رهیافت تعینی

## ۲-۲-۱- تعیین منابع (چشمه‌های) لرزه‌زا در منطقه مورد مطالعه

به‌طور کلی چشمه لرزه‌ای به سه دسته نقطه‌ای، خطی و پهنه‌ای یا سطحی تقسیم‌بندی می‌شود. در این مرحله لازم است تا تمامی سرچشمه‌های خطی (گسل‌ها) که می‌توانند احتمالاً موجب یک زمین‌لرزه مخرب شوند، شناسایی شده و با توجه به اصول موجود در قطعه‌بندی چشمه‌های خطی این سرچشمه‌ها در صورت نیاز، قطعه‌بندی شده و هر یک از این قطعات به صورت مجزا در نظر گرفته شده است (زارع، ۱۳۸۸). شکل (۲) نقشه گسل‌های منطقه به شعاع ۱۵۰ کیلومتری از مرکز شهرستان سمنان در آمده است.



شکل ۲- نقشه گسل‌های فعال در محدوده مورد مطالعه (داده‌ها برگرفته از سازمان زمین‌شناسی)

## ۲-۲-۲- انتخاب زمین‌لرزه‌های کنترل‌کننده برای هر سرچشمه

پس از شناسایی سرچشمه‌ها، زمین‌لرزه‌های کنترل‌کننده برای هر کدام باید تعیین شود. زمین‌لرزه کنترل‌کننده به عنوان زمین‌لرزه با بزرگای بیشینه ( $M_{max}$ ) در نظر گرفته می‌شود که یک سرچشمه مشخص می‌تواند ایجاد نماید. برای مشخص ساختن  $M_{max}$  می‌توان از بزرگ‌ترین زمین‌لرزه تاریخی روی داده، رابطه‌های بزرگ‌ا طول-گسل و مطالعه دیرینه‌لرزه‌شناسی با حفر ترانشه استفاده نمود. برای اندازه‌گیری بزرگا از مقیاس‌های مختلفی استفاده می‌شود

که مهم‌ترین آنها شامل بزرگای  $^1M_s$  (بزرگا در مقیاس امواج سطحی)،  $^2M_b$  (بزرگا در مقیاس امواج پیکری) و  $^3M_w$  (بزرگای گشتاوری) می‌باشند. از نظر ریاضی روابط خاصی بین مقیاسهای مختلف بزرگا وجود دارد که امکان محاسبه هر یک را از روی دیگری ممکن می‌سازد. در این پژوهش از روابط تجربی بین بزرگا و طول گسیختگی گسل استفاده شده است.

در رابطه تجربی Mohajer & Norouzi، ۵۰ درصد طول گسل را به‌عنوان طول گسیختگی در محاسبه بزرگا لحاظ کردند (Mohajer & Norouzi, 1978) (رابطه ۱).

$$M_S = 5.4 + \text{Log } L_R, (L_R = 50\% L) \quad \text{رابطه (۱)}$$

در رابطه بالا  $L$  طول گسل بر حسب کیلومتر است.

فرمول Ambraseys & Melville بر پایه‌ی زمین‌لرزه‌های خاورمیانه تهیه شد (Ambraseys & Melville, 1982) (رابطه ۲).

$$M_S = 1.429 \text{Log } L_R + 4.629 \quad \text{رابطه (۲)}$$

که در آن  $L$  طول گسل فعال بر حسب کیلومتر در پوسته‌ای به ضخامت ۱۲ کیلومتر و  $M_S$  بزرگای امواج سطحی برای زمین‌لرزه‌های با بزرگای برابر یا بزرگ‌تر از ۶ می‌باشد.

رابطه Nowroozi بر پایه ۱۰ زمین‌لرزه بزرگ ایران و بیشینه طول گسل زمین‌لرزه‌ای ۸۵ کیلومتر و بزرگای  $M_S \geq 6$  پایه‌گذاری شده بود که در رابطه (۳) آمده است (Nowroozi, 1985).

$$M_S = 1.244 \text{Log } L + 1.259 \quad \text{رابطه (۳)}$$

در رابطه بالا  $L$  طول گسل فعال بر حسب متر است.

رابطه Vells & Coppersmith، بر اساس اطلاعات مربوط به ۲۴۴ زمین‌لرزه در سراسر جهان، از جمله ۱۲ زمین‌لرزه ایران، به صورت رابطه (۴) است (Vells & Coppersmith, 1994).

$$M_S = 5.16 + 1.211 \text{Log } L_R \quad \text{رابطه (۴)}$$

### ۲-۲-۳- انتخاب روابط کاهندگی مناسب

برای نشان‌دادن جنبش نیرومند زمین از بیشینه شتاب زمین و شدت حاصل از چشمه‌های لرزه‌ای استفاده می‌شود. برای محاسبه آن از بزرگا و فاصله زمین‌لرزه فرضی استفاده می‌شود. برای این منظور لازم است به رژیم ساختمانی ناحیه توجه شود، چرا که کاهندگی بیشینه شتاب در رژیم‌های مختلف زمین‌ساختی و بخش‌های مختلف پوسته زمین با هم متفاوت است روابط کاهندگی مشخص کننده میزان کاهش انرژی و دامنه جنبش زمین نسبت به فاصله از

1 Surface Wave Magnitude

2 Body Wave Magnitude

3 Moment Magnitude

چشمه لرزه‌ای می‌باشد. این روابط پارامترهای جنبش نیرومند زمین را به توان لرزه‌زایی یک گسل و فاصله ساختگاه از گسل مرتبط می‌سازد که به دو صورت نظری و تجربی بدست می‌آیند. روابط کاهندگی توابعی هستند که پارامترهای جنبش نیرومند زمین را به متغیرهایی که وابسته به رویداد زمین‌لرزه هستند مرتبط می‌سازد (زارع، ۱۳۸۸).

#### ۲-۲-۴- محاسبه پارامترهای جنبش شدید زمین برای طراحی

با استفاده از رابطه کاهندگی برای زمین‌لرزه‌های کنترل‌کننده مربوط به هر سرچشمه، بیشینه جنبش (شتاب) (PGA) زمین محاسبه می‌گردد. در این حالت، زمین‌لرزه‌ای که بیشترین PGA را در ساختگاه مورد نظر ایجاد می‌کند به عنوان جنبش زمین‌لرزه سطح طراحی در نظر گرفته می‌شود. از این سطح PGA می‌توان برای به مقیاس درآوردن طیف‌های پاسخ انتخابی برای محل ساختگاه نیز بهره‌گیری نمود (زارع، ۱۳۸۸). در این پژوهش از روابط کاهندگی شدت (۶) تا (۸) و کاهندگی شتاب افقی (۹) تا (۱۱) استفاده شده است

#### ۲-۳- روش تحلیل خطر زمین‌لرزه

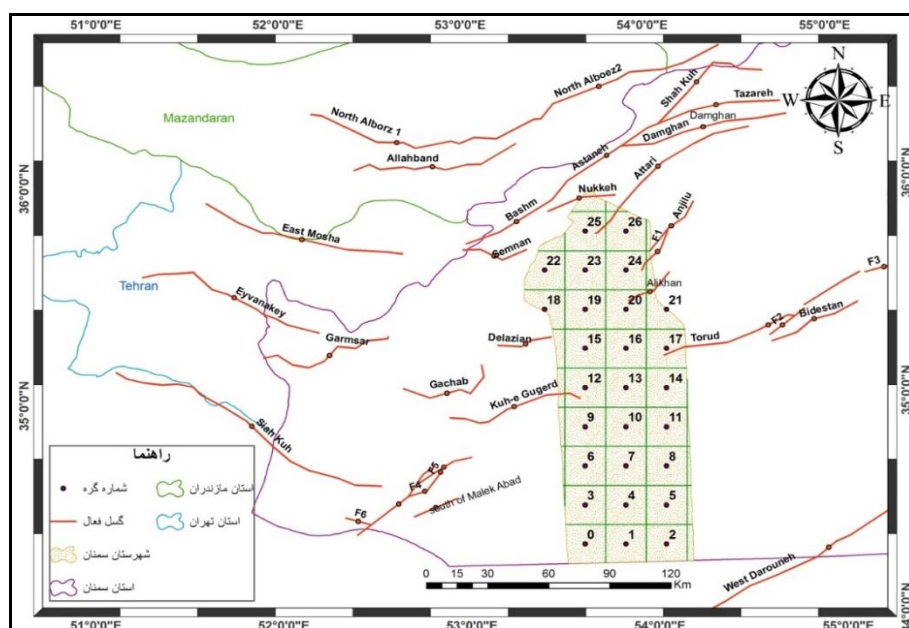
در ابتدا تمامی گسل‌های مهم و فعال محدوده مورد مطالعه جمع‌آوری شد. تعداد گسل‌های فعال و لرزه‌زا با درازای بیش از ۲۰ کیلومتر و برخی از گسل‌های مهم کمتر از ۲۰ کیلومتر، در محدوده مورد نظر به ۳۲ گسل فعال رسید که توضیحات مهم‌ترین آنها در فصل سوم آمده است. سپس طول گسل‌ها محاسبه شد و در مورد گسل‌های طویل و مهم بر اساس روش زمین‌شناختی و لرزه‌ای به قطعاتی تقسیم شدند تا نتایج قابل قبول‌تری در نتایج این پژوهش ارائه دهند.

در مرحله بعد بیشینه بزرگای محتمل بر روی سطح گسل، بر اساس روابط (۱) تا (۴) بدست آمد و بعد از این اعداد میانگین گرفته شد تا این عدد بعنوان بزرگ‌ترین زمین‌لرزه محتمل که هر گسل در صورت جنبش می‌تواند ایجاد کند محاسبه می‌گردد (Ms). سپس با توجه به بیشینه بزرگای محتمل و رابطه تجربی Ambraseys & Melville (Ambraseys & Melville, 1982) حداکثر شدت زمین‌لرزه در کانون سطحی آن مطابق رابطه (۵) محاسبه شد.

$$I_o = 1.3M_s + 0.09 \quad \text{رابطه (۵)}$$

در رابطه بالا Ms میانگین بزرگای بدست آمده گسل و Io شدت زمین‌لرزه در کانون سطحی آن در مقیاس مرکالی می‌باشد. این مقادیر پتانسیل تخریب گسل در کانون سطحی را نشان می‌دهند.

برای تهیه نقشه‌های هم‌شدت و هم‌شتاب محدوده مورد مطالعه شبکه‌بندی شد که این کار در محیط GIS انجام شد. در مرکز هر شبکه یک گره در نظر گرفته شد که این گره‌ها مبنای تحلیل قرار گرفته‌اند. فاصله هر گره از هم در شهرستان سمنان دو کیلومتر بوده که مجموع گره‌ها ۲۶ عدد در نظر گرفته شد.



شکل ۳- نقشه شبکه بندی و موقعیت هر گره در شهرستان سمنان

برای محاسبه فاصله گسل‌ها نسبت به گره‌ها، دو فاصله در نظر گرفته شد یکی فاصله نزدیک‌ترین گسل تا گره و دیگری فاصله تاثیرگذارترین گسل بر روی همان گره. تاثیرگذارترین گسل بر روی هر گره از روی بیشینه بزرگای محتمل به گسل و فاصله آن از گره انتخاب شد. در مرحله بعد با استفاده از روابط تجربی Chandra رابطه (۶)، (Chandra, 1981) رابطه (۷) (۱۳۸۲، سیاهکالی مرادی و همکاران) و رابطه Ambraseys & Melville رابطه (۸)، (Ambraseys & Melville, 1982) با توجه به فاصله هر گره نسبت به نزدیک‌ترین و تاثیرگذارترین گسل، حداکثر شدت زمین‌لرزه برای هر گره حساب شد و مطابق با آن نقشه‌های هم‌شدت زمین‌لرزه‌های محتمل برای شهرستان سمنان تهیه شد.

$$I_R = I_0 + 8.729 - 0.01158R - 6.709 \log(R+20) \quad \text{رابطه (۶)}$$

$$I_R = 11.926 + 0.831M_S - 2.7 \ln(R+22) \quad \text{رابطه (۷)}$$

$$I_R = I_0 + 3.44 - 0.002R - 3.1 \log R \quad \text{رابطه (۸)}$$

در رابطه بالا  $M_S$  بیشینه بزرگای محتمل برای هر گسل و  $I_R$  حداکثر شدت محاسبه شده برای هر گره می‌باشد. در نهایت بیشینه شتاب افقی حاصل از زمین‌لرزه محتمل هر گسل در محل گره‌ها طبق روابط کاهندگی<sup>۱</sup> محاسبه شد. در این پژوهش از روابط کاهندگی<sup>۲</sup> Ambraseys & Douglas رابطه (۹)، رابطه<sup>۳</sup> Campell and Bozorgnia

1 Attenuation Relationshi

2 Ambraseys and Douglas

3 Ghodrati Amiri et al



رابطه (۱۰) و رابطه Ghodrati Amiri et al (۱۱) استفاده و از نتایج میانگین گرفته شده است و نتایج آن به صورت نقشه‌های پهنه‌بندی هم‌شتاب و هم‌شدت برای منطقه مورد مطالعه ارائه می‌شود.

$$\text{Logy} = -0.659 + 0.202 M_s - 0.0238R + 0.214 \quad \text{رابطه (۹)}$$

که واحد  $y$  در رابطه بالا برابر با  $m/s^2$  است.

$$\text{Ln}y = -2.896 + 0.812M_w - 1.318 \text{Ln}\{R^2 + [0.187\exp(0.616M_w)]^2\}^{0.5} + 0.112 \quad \text{رابطه (۱۰)}$$

که در رابطه بالا  $y$  همان  $g$  است و چون میانگین بیشینه بزرگای امواج سطحی مربوط به هر گره از ۶ بزرگ‌تر است پس به جای  $M_w$  می‌توان همان  $M_s$  را در نظر گرفت.

$$\text{Ln}y = 4.15 + 0.623M_s - 0.96\text{Ln}(R) + 0.478 \quad \text{رابطه (۱۱)}$$

که واحد  $y$  در رابطه بالا برابر  $cm/s^2$  می‌باشد.

## ۲-۲- ترسیم نقشه‌های هم‌شدت و هم‌شتاب

پس از محاسبات شتاب افقی و شدت برای هر گره، نقشه پهنه‌بندی برحسب بیشینه شدت بر اساس تفکیک رنگ از پهنه با خطر نسبی کم تا خطر نسبی بسیار زیاد و نیز نقشه پهنه‌بندی بر اساس بیشینه شدت بر اساس خطوط میزان و نقشه پهنه‌بندی بر اساس بیشینه شتاب افقی بر اساس تفکیک رنگ و نیز نقشه پهنه‌بندی بر اساس بیشینه شتاب افقی بر حسب خطوط میزان با استفاده از رهیافت تعیینی در نرم‌افزار Arc GIS رسم شد.

## ۳- نتایج و بحث

در این پژوهش با هدف پهنه‌بندی خطر زمین‌لرزه با استفاده از رهیافت تعیینی به صورت موردی در شهرستان سمنان برنامه‌ریزی شد. لذا طبق روش شرح ارائه شده در قسمت مواد و روش‌ها، پژوهش حاضر انجام پذیرفته و نتایج حاصل از آن به تفکیک و به ترتیب مورد بحث و بررسی قرار گرفته است. همان‌طور که در جدول (۱) نشان داده شده است با حرکت از جنوب به سمت شمال و شمال شرق منطقه مورد مطالعه میزان شدت نهایی افزایش پیدا می‌کند به نحوی که طبق نتایج به‌دست آمده در گره‌های نیمه شمالی منطقه تا  $VIII^+$  مرکالی برآورد شده است اما این در حالی است که این شاخصه در نیمه جنوبی منطقه مورد مطالعه در بعضی از گره‌ها  $V$  مرکالی برآورد شده است. همچنین در همین راستا پس از برآورد مقادیر شتاب افقی نهایی برای گره‌های مورد نظر که در شکل (۳) نشان داده شده است به نحوی بود که گره شماره ۲۰ که کمترین فاصله را با گسل علیخان، واقع در شمال شرقی منطقه را دارا بود، با مقدار  $0.37g$  بیشترین مقدار شتاب افقی نهایی را در منطقه مورد مطالعه به خود اختصاص داد. همین‌طور گره‌های شماره صفر و ۳ که در جنوب و جنوب شرقی منطقه مورد مطالعه واقع شده‌اند با مقدار  $0.05g$  کمترین میزان شتاب افقی نهایی را در منطقه مورد مطالعه به خود اختصاص دادند. طبق نتایج به‌دست آمده از محاسبه میزان

شتاب افقی نهایی روند این شاخص به صورت افزایشی از جنوب شرق به سمت شمال شرق را نشان داد به نحوی که با حرکت از سمت جنوب شرقی به سمت شمال شرقی به طور کلی مقادیر هر دو شاخص شدت و شتاب افقی روند افزایشی را نشان می‌دهد. که نتایج نهایی حاصل از این محاسبه و اندازه‌گیری‌ها در جدول‌های (۱) و (۲) آمده است.

جدول ۱- نتایج محاسبات بیشینه شدت هر گره نسبت به گسل تاثیرگذار و شدت نهایی هر گره

شماره گره	Io (Mer)	R تاثیرگذارترین گسل	IR مرادی	IR چاندرا	IR امبرسیز و ملویل	IR (AVE)	IR نهایی	IR (Mer)
۰	IX <sup>+</sup>	۱۱۹/۶	۴/۶	۳	۶/۸	۴/۸	۵	V
۱	X	۹۹/۶	۵	۳/۶	۷	۵/۲	۵/۳	V <sup>+</sup>
۲	IX <sup>+</sup>	۷۹/۶	۵/۵	۴/۴	۷/۴	۵/۸	۵/۸	V <sup>+</sup>
۳	VIII <sup>+</sup>	۷۹	۴/۹	۳/۴	۶/۴	۴/۹	۵/۱	V <sup>+</sup>
۴	IX <sup>+</sup>	۱۰۱/۹	۵	۳/۶	۷	۵/۲	۵/۲	V <sup>+</sup>
۵	IX	۸۲/۵	۵/۴	۴/۳	۷/۳	۵/۷	۵/۷	V <sup>+</sup>
۶	IX <sup>+</sup>	۴۶/۱	۶/۲	۵	۷/۲	۶/۱	۶/۲	VI <sup>+</sup>
۷	IX <sup>+</sup>	۶۲/۶	۵/۶	۴/۱	۶/۷	۵/۵	۵/۵	V <sup>+</sup>
۸	IX <sup>+</sup>	۸۹/۸	۵/۳	۴	۷/۲	۵/۵	۵/۵	V <sup>+</sup>
۹	IX <sup>+</sup>	۳۶/۳	۶/۶	۵/۶	۷/۵	۶/۶	۶/۶	VI <sup>+</sup>
۱۰	IX <sup>+</sup>	۸۷/۱	۵/۲	۴/۱	۷/۳	۵/۵	۵/۸	V <sup>+</sup>
۱۱	VIII <sup>+</sup>	۷۲	۵/۶	۴/۷	۷/۵	۵/۹	۶	VI
۱۲	IX	۳۶/۲	۶/۶	۵/۶	۷/۵	۶/۶	۶/۶	VI <sup>+</sup>
۱۳	IX <sup>+</sup>	۵۵/۷	۵/۸	۴/۵	۶/۹	۵/۷	۵/۸	V <sup>+</sup>
۱۴	IX	۵۹/۲	۶	۵/۳	۷/۸	۶/۴	۶/۴	VI <sup>+</sup>
۱۵	IX <sup>+</sup>	۴۵/۸	۶/۲	۵	۷/۲	۶/۱	۶/۹	VI <sup>+</sup>
۱۶	VIII <sup>+</sup>	۳۱/۳	۷/۱	۶/۹	۸/۷	۷/۶	۷/۶	VII <sup>+</sup>
۱۷	IX <sup>+</sup>	۵۱	۶/۲	۵/۷	۸	۶/۷	۶/۸	VI <sup>+</sup>
۱۸	IX <sup>+</sup>	۵۱/۹	۶	۴/۷	۷	۵/۹	۷/۵	VII <sup>+</sup>
۱۹	IX <sup>+</sup>	۸۱	۵/۲	۳/۳	۶/۴	۵	۶/۷	VI <sup>+</sup>
۲۰	IX <sup>+</sup>	۷۰/۳	۵/۶	۴/۸	۷/۶	۶	۷/۹	VII <sup>+</sup>
۲۱	IX <sup>+</sup>	۵۰/۵	۶/۳	۵/۷	۸/۱	۶/۷	۸/۱	VIII <sup>+</sup>
۲۲	IX <sup>+</sup>	۲۸/۳	۷/۱	۶/۱	۷/۹	۷	۷/۱	VII <sup>+</sup>
۲۳	VIII <sup>+</sup>	۶۳/۹	۵/۷	۴/۱	۶/۷	۵/۵	۶/۶	VI <sup>+</sup>
۲۴	IX <sup>+</sup>	۵۵/۳	۶	۴/۵	۶/۹	۵/۸	۷/۶	VII <sup>+</sup>
۲۵	VIII <sup>+</sup>	۴۸/۶	۶/۲	۴/۸	۷/۱	۶/۱	۷/۷	VII <sup>+</sup>
۲۶	IX	۳۶/۶	۶/۸	۵/۵	۷/۵	۶/۶	۷/۶	VII <sup>+</sup>

می‌توان اظهار کرد که علت بالا بودن پتانسیل خطر لرزه‌خیزی در شمال شهرستان وجود گسل‌های فعال مربوط به دوران کواترنری باشد. گسل‌های متعددی در قسمت شمالی شهرستان وجود دارد که از جمله بزرگ‌ترین گسل‌های این منطقه می‌توان به گسل عطاری با طول ۸۵ کیلومتر اشاره نمود که مربوط به دوران کواترنری بوده و در امتداد غرب به شرق از شمال شهرستان عبور می‌کند. از دیگر گسل‌های موجود در نیمه شمالی شهرستان می‌توان به گسل‌های آنجیلو، دلزبان و ترود با طول تقریبی به ترتیب ۲۳، ۳۴ و ۷۵ کیلومتر اشاره کرد که قسمتی از هر کدام در داخل محدوده شهرستان سمنان قرار دارند.

جدول ۲- نتایج محاسبات بیشینه شتاب افقی تاثیرگذارترین گسل بر هر گره و بیشینه شتاب

شماره گره	Ms (AVR)	R (km)	کمپل (g)	داگلاس (g)	قدرتی (g)	میانگین شتاب (g)	شتاب افقی نهایی (g)
۰	۷/۴	۱۱۹/۶	۰/۰۵	۰	۰/۱۱	۰/۰۵	۰/۰۵
۱	۷/۴	۹۹/۶	۰/۰۶	۰	۰/۱۳	۰/۰۶	۰/۰۶
۲	۷/۴	۷۹/۶	۰/۰۸	۰/۰۱	۰/۱۶	۰/۰۸	۰/۰۸
۳	۶/۷	۷۹	۰/۰۴	۰/۰۱	۰/۱	۰/۰۵	۰/۰۵
۴	۷/۴	۱۰۱/۹	۰/۰۶	۰	۰/۱۲	۰/۰۶	۰/۰۶
۵	۷/۴	۸۲/۵	۰/۰۷	۰/۰۱	۰/۱۵	۰/۰۸	۰/۰۸
۶	۷	۴۶/۱	۰/۱۱	۰/۰۸	۰/۲۱	۰/۱۳	۰/۱۳
۷	۷	۶۲/۶	۰/۰۸	۰/۰۳	۰/۱۵	۰/۰۹	۰/۰۹
۸	۷/۴	۸۹/۸	۰/۰۷	۰/۰۱	۰/۱۴	۰/۰۷	۰/۰۷
۹	۷	۳۶/۳	۰/۱۵	۰/۱۳	۰/۲۶	۰/۱۸	۰/۱۸
۱۰	۷/۳	۸۷/۱	۰/۰۶	۰/۰۱	۰/۱۳	۰/۰۷	۰/۰۹
۱۱	۷/۳	۷۲	۰/۰۸	۰/۰۲	۰/۱۶	۰/۰۹	۰/۰۹
۱۲	۷	۳۶/۲	۰/۱۵	۰/۱۳	۰/۲۶	۰/۱۸	۰/۱۸
۱۳	۷	۵۵/۷	۰/۰۹	۰/۰۴	۰/۱۷	۰/۱	۰/۱
۱۴	۷/۳	۵۹/۲	۰/۱	۰/۰۴	۰/۱۹	۰/۱۱	۰/۱۶
۱۵	۷	۴۵/۸	۰/۱۱	۰/۰۸	۰/۲۱	۰/۱۳	۰/۱۴
۱۶	۷/۳	۳۱/۳	۰/۲۱	۰/۲	۰/۳۶	۰/۲۵	۰/۲۵
۱۷	۷/۳	۵۱	۰/۱۲	۰/۰۷	۰/۲۲	۰/۱۴	۰/۱۵
۱۸	۷	۵۱/۹	۰/۱	۰/۰۵	۰/۱۸	۰/۱۱	۰/۲۵
۱۹	۷/۲	۸۱	۰/۰۶	۰/۰۱	۰/۱۴	۰/۰۷	۰/۱۳
۲۰	۷/۳	۷۰/۳	۰/۰۸	۰/۰۲	۰/۱۷	۰/۰۹	۰/۳۱
۲۱	۷/۳	۵۰/۵	۰/۱۲	۰/۰۷	۰/۲۳	۰/۱۴	۰/۳۷
۲۲	۶/۹	۲۸/۳	۰/۱۸	۰/۱۹	۰/۳۱	۰/۲۳	۰/۲۳
۲۳	۷/۲	۶۳/۹	۰/۰۹	۰/۰۳	۰/۱۷	۰/۱	۰/۱۳
۲۴	۷/۲	۵۵/۳	۰/۱	۰/۰۵	۰/۲	۰/۱۲	۰/۲۶

## ادامه جدول ۲

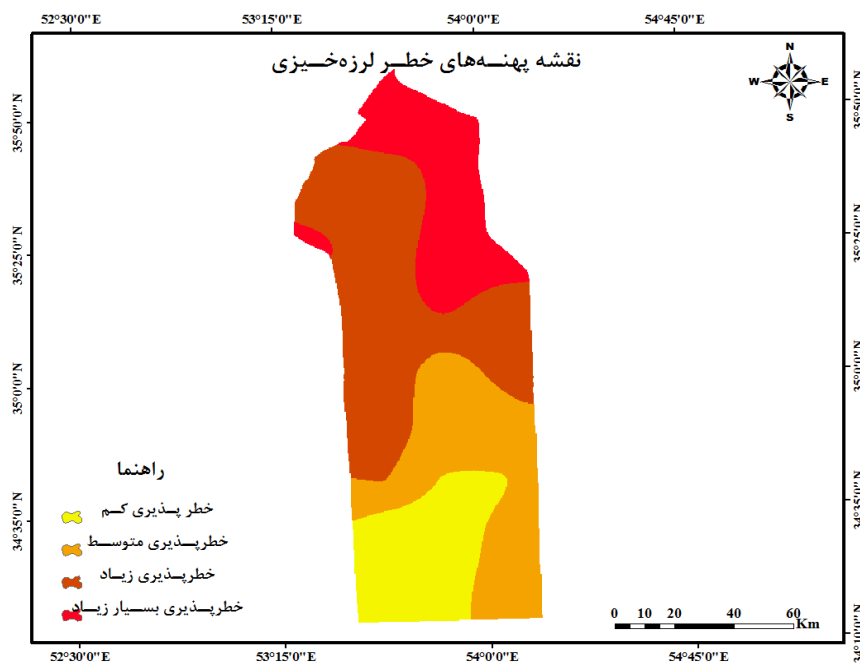
شماره گره	Ms (AVR)	R (km)	کمپل (g)	داگلاس (g)	قدرتی (g)	میانگین شتاب (g)	شتاب افقی نهایی (g)
۲۵	۷/۲	۴۸/۶	۰/۱۲	۰/۰۷	۰/۲۲	۰/۱۴	۰/۲۹
۲۶	۷/۲	۳۶/۶	۰/۱۷	۰/۱۴	۰/۲۹	۰/۲	۰/۲۵

## ۳-۱- نتایج حاصل از بیشینه شدت و شتاب افقی زمین لرزه

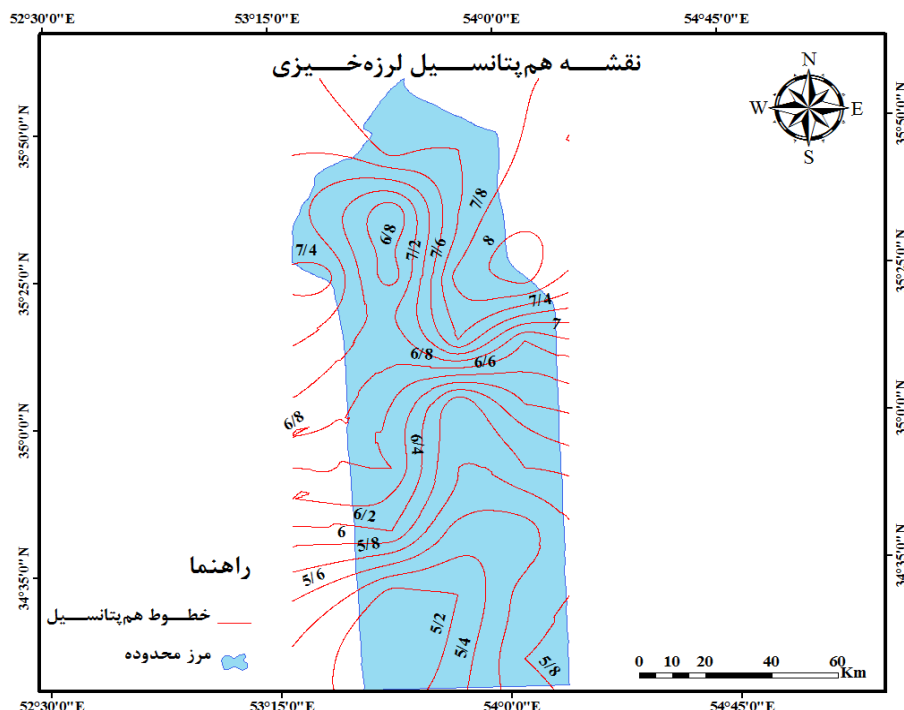
پس از محاسبات مربوط به شدت و شتاب افقی برای هر گره مشخص شده در منطقه مورد مطالعه، نقشه پهنه‌بندی و نقشه خطوط هم‌پتانسیل برای منطقه مورد مطالعه رسم شد و پس از ترسیم نقشه بر اساس میزان خطر محتمل در هر قسمت از منطقه مورد مطالعه، محدوده به پهنه‌هایی با پتانسیل خطرهای متفاوت تقسیم بندی شد و مساحت و موقعیت هر پهنه از خطر روی نقشه ترسیم شد که نتایج حاصل از آن را در شکل (۴) تا (۷) مشاهده می‌کنید.

## ۳-۲- بیشینه شدت زمین لرزه

نتایج حاصل از پهنه‌بندی مناطق دارای پتانسیل خطر بر اساس بیشینه شدت زمین لرزه در منطقه مورد مطالعه در شکل (۴) و (۵) و جدول (۳) نشان داده شده است.



شکل ۴- نقشه پهنه‌بندی بر حسب بیشینه شدت زمین لرزه



شکل ۵- نقشه خطوط هم‌پتانسیل بر حسب بیشینه شدت زمین لرزه

جدول (۳) به تفکیک مساحت و درصد هر یک از سطوح خطر را نشان می‌دهد.

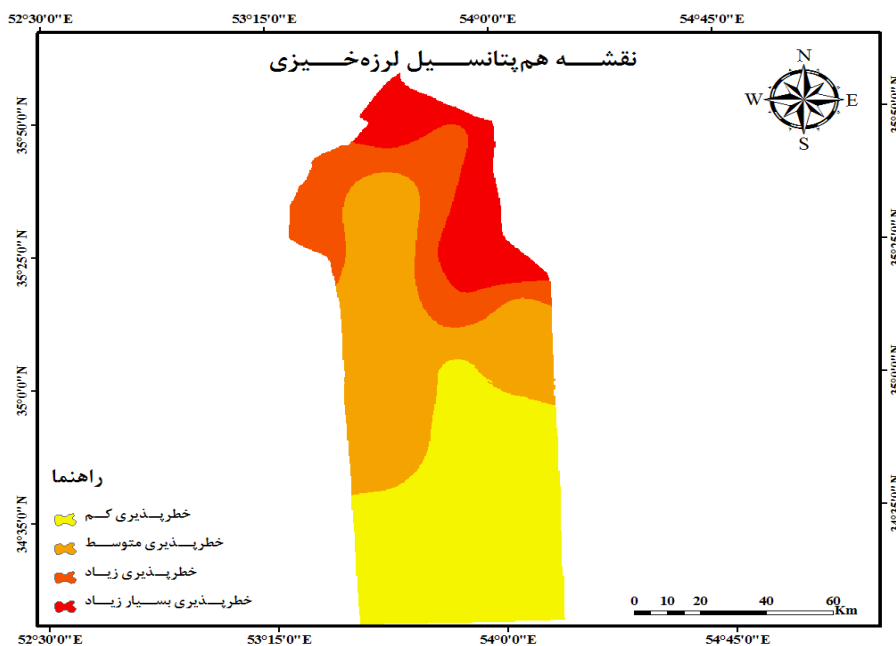
جدول ۳- مشخصات مساحت و درصد پهنه‌های خطر بر حسب بیشینه شدت

سطح خطر	مساحت محدوده (km <sup>2</sup> )	درصد محدوده
پهنه با خطر نسبی کم	۱۹۲۳/۵	۱۷/۴۵
پهنه با خطر نسبی متوسط	۲۷۳۳/۶	۲۴/۸۱
پهنه با خطر نسبی زیاد	۳۷۰۴/۸	۳۳/۶۲
پهنه با خطر نسبی بسیار زیاد	۲۶۵۵/۹	۲۴/۱۰

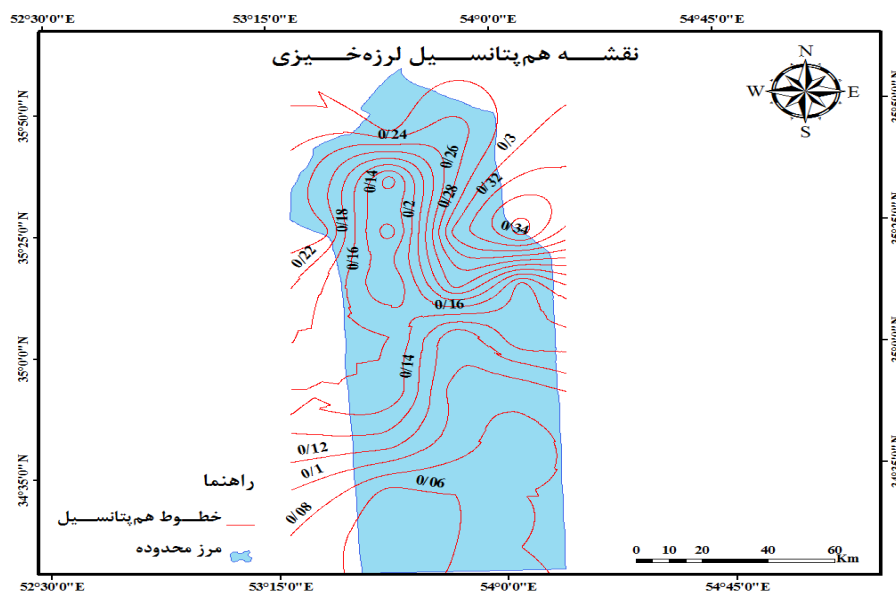
همان‌طور که در جدول (۳) نشان داده شده است مناطق با پتانسیل خطرپذیری بالا، خطرپذیری متوسط، خطر خطرپذیری بسیار بالا و خطرپذیری کم به ترتیب از بیشترین تا کمترین مساحت از منطقه را به خود اختصاص داده‌اند. در همین راستا با توجه به این که ۲۴/۱۰ درصد از مساحت کل منطقه مربوط به پهنه با خطرپذیری بسیار بالا و ۳۳/۶۲ درصد نیز مربوط به پهنه با خطرپذیری بالا می‌باشد می‌توان بیان نمود که حدود ۵۰ درصد از مساحت کل منطقه دارای پتانسیل خطر زیادی از لحاظ لرزه‌خیزی می‌باشد که با توجه به این در پایان می‌توان اظهار داشت در کل با توجه به نتایج حاصل منطقه از لحاظ لرزه‌خیزی دارای پتانسیل بالایی می‌باشد.

۳-۳- بیشینه شتاب افقی زمین لرزه

نتایج حاصل از پهنه‌بندی مناطق دارای پتانسیل خطر بر اساس بیشینه شتاب افقی زمین لرزه در منطقه مورد مطالعه در شکل (۶) و (۷) و جدول (۴) نشان داده شده است.



شکل ۶- نقشه پهنه‌بندی بر حسب بیشینه شتاب افقی زمین لرزه



شکل ۷- نقشه خطوط هم‌پتانسیل بر حسب بیشینه شتاب افقی زمین لرزه

جدول (۴) به تفکیک مساحت و درصد هر یک از سطوح خطر را نشان می‌دهد.

جدول ۴- مشخصات مساحت و درصد پهنه‌های خطر بر حسب بیشینه شتاب

درصد محدوده	مساحت محدوده (km <sup>2</sup> )	سطح خطر
۳۶/۳۴	۴۰۰۴/۶	پهنه با خطر نسبی کم
۲۹/۷۷	۳۲۸۰/۸	پهنه با خطر نسبی متوسط
۱۷/۷۲	۱۹۵۱/۶	پهنه با خطر نسبی زیاد
۱۶/۱۷	۱۷۸۰/۸	پهنه با خطر نسبی بسیار زیاد

طبق نتایج به دست آمده از پهنه‌بندی منطقه به پهنه‌های با پتانسیل‌های خطر مختلف بر اساس بیشینه شتاب افقی زمین‌لرزه، پهنه با خطر نسبی کم، ۳۶/۳۴ درصد و پهنه با خطر نسبی بسیار زیاد با ۱۶/۱۷ درصد از مساحت کل منطقه، به ترتیب بیشترین و کمترین پهنه از مساحت منطقه مورد مطالعه را به خود اختصاص دادند. هم‌چنین پهنه‌های با خطر نسبی متوسط با ۲۹/۷۷ درصد و پهنه با خطر نسبی زیاد با ۱۷/۷۲ درصد از کل محدوده به ترتیب در رده‌های دوم و سوم دارا بودن منطقه از لحاظ وسعت قرار گرفتند.

#### ۴- جمع بندی

پژوهش حاضر با هدف پهنه‌بندی خطر زمین‌لرزه با استفاده از رهیافت تعیینی به صورت موردی در شهرستان سمنان به سبب اهمیت خاص جغرافیایی، اقتصادی و زمین‌شناسی آن برنامه‌ریزی شد. نتایج حاصل از پژوهش نشان داد بیشینه شدت زمین‌لرزه VIII<sup>+</sup> و کمترین میزان آن نیز V می‌باشد هم‌چنین میزان بیشینه شتاب افقی زمین‌لرزه در منطقه مورد مطالعه ۰/۳۷g و کمترین مقدار آن نیز ۰/۰۴۸g بود. هم‌چنین نتایج حاصل از این پژوهش نشان داد که میزان پتانسیل خطر لرزه‌خیزی از جنوب شهرستان سمنان به سمت شمال افزایش پیدا می‌کند به نحوی که پهنه با خطر نسبی بسیار زیاد مربوط به شمال‌شرق شهرستان سمنان و مساحت زیادی از پهنه با خطر نسبی کم، مربوط به جنوب شهرستان سمنان به دلیل قرارگیری در دشت کویر می‌باشد و در این منطقه هیچ گسل لرزه‌زایی وجود نداشته و تقریباً رومرکز هیچ زمین‌لرزه‌ای در آنجا ثبت نشده است. می‌توان اظهار کرد که علت بالا بودن پتانسیل خطر لرزه‌خیزی در نیمه شمالی شهرستان، وجود گسل‌های فعال مربوط به دوران کواترنری باشد. گسل‌های متعددی در نیمه شمالی شهرستان وجود دارد که از جمله بزرگ‌ترین گسل‌های این منطقه می‌توان به گسل عطاری با طول ۸۵ کیلومتر اشاره نمود که مربوط به دوران کواترنری بوده و در امتداد غرب به شرق از شمال شهرستان عبور می‌کند. از دیگر گسل‌های موجود در نیمه شمالی شهرستان، می‌توان به گسل‌های آنجیلو، دلازیان و ترود با طول تقریبی به ترتیب ۲۳، ۳۴ و ۷۵ کیلومتر اشاره کرد که قسمتی از هر کدام در داخل محدوده شهرستان سمنان قرار دارند. نتایج حاصل از این پژوهش نشان داد که مساحت پهنه با خطرپذیری زیاد و بسیار زیاد با توجه به تراکم جمعیت، قابل

ملاحظه بوده است و نکته مسلم در لرزه‌ها بودن و افزایش لرزه‌خیزی در نیمه شمالی شهرستان که محل اصلی تمرکز جمعیت شهرستان است، می‌باشد که باید این مسئله مورد توجه و دقت نظر ویژه مسئولان، برنامه‌ریزان و مهندسیین قرار بگیرد.

#### کتابنامه

- آژانس همکاری بین المللی ژاپن (JICA)، مرکز تحقیقات زیست محیطی تهران بزرگ؛ ۱۳۸۰. گزارش نهایی ریز پهنه بندی لرزه‌ای تهران بزرگ.
- حاتمی نژاد، حسین؛ فتحی، حمید؛ عشق آبادی، فرشید؛ ۱۳۸۸. ارزیابی میزان آسیب پذیری لرزه‌ای در شهر تهران نمونه مورد مطالعه: منطقه ۱۰ شهرداری تهران. پژوهش‌های جغرافیای انسانی، دوره ۴۱، شماره ۶۸، ص ۱-۲۰.
- زارع، مهدی؛ ۱۳۸۴. مقدمه‌ای بر زمین لرزه شناسی کاربردی. چاپ اول. تهران: انتشارات پژوهشگاه بین المللی زمین لرزه شناسی و مهندسی زمین لرزه.
- زارع، مهدی؛ ۱۳۸۸. مبانی تحلیل خطر زمین لرزه، انتشارات پژوهشگاه بین المللی زلزله شناسی و مهندسی زلزله.
- سیاهکلی مرادی، علی؛ میرزایی، نوربخش؛ رضاپور، مهدی؛ ۱۳۸۳. روابط تضعیف شدت زمین لرزه در ایران، موسسه ژئوفیزیک دانشگاه تهران.
- شاهپسندزاده، مجید؛ حیدری، مهدی؛ ۱۳۸۲. بررسی مقدماتی لرزه زمین ساخت و تاریخچه لرزه خیزی در استان اصفهان.
- صفایی، همایون؛ ۱۳۸۳. طرح پژوهشی شناسایی و بررسی توان لرزه‌های گسل‌های اطراف اصفهان. معاونت شهرسازی و معماری شهرداری اصفهان.
- قهرودی تالی، منیژه؛ پورموسوی، سید موسی؛ خسروی، سمیه؛ ۱۳۹۱. بررسی پتانسیل تخریب لرزه خیزی با به کارگیری مدل‌های چند شاخصه (مطالعه موردی: منطقه یک شهر تهران). پژوهش‌های ژئومورفولوژی کمی. شماره سوم، ص ۵۷-۶۸.
- مهاجرانشجعی، ارسلان؛ ۱۳۶۰. ثبت و تفسیر لرزه‌های محلی و ویژگی‌های زلزله خیزی مناطق شهرکرد و اصفهان. امور و ویژه زلزله شناسی سازمان انرژی اتمی ایران.

Amberseys, N., Melville, C.P., 1982. A history of Persian earthquake, Cambridge earth Science series. Cambridge University Press, UK.

Ambraseys, N., Douglas, J., 2000. Reappraisal of the effect of vertical ground motions on response. ESEE Report 00-4. Department of Civil and Environmental Engineering, Imperial College, London.

Brunet, M.F., Korotaevb, M.V., Ershovb, A.V., Anatoly M. & Nikishin A.M., 2003. The South Caspian Basin: a review of its evolution from subsidence modelling. Sedimentary Geology. 156, 119-148.

Campbell, K.W., Bozorgnia, Y., 2003. Updated Near-Source Ground Motion (Attenuation) Relations for the Horizontal and Vertical Components of Peak Ground Acceleration and



- Acceleration Response Spectra. Bulletin of the Seismological Society of America. 93(1),314-331.
- Chandra, U., McWhorted, J. G., Nowroozi, A.A., 1979. Attenuation of intensities in Iran. Bulletin of the Seismological Society of America. 69, 237-250.
- Coppersmith, K. J., Wells, D. L., 1994. New Empirical Relationship among Magnitude, Rupture, Length, Rupture Area, and Surface Displacement. Bulletin of the Seismological Society of America. 84, 974 -1002.
- Feng, X., Xuping, C., Aizhu, R., Xinzheng, L., 2008. Earthquake Disaster Simulation for an Urban Area, with GIS, CAD, FEA, and VR Integration, Tsinghua Science and Technology. 13, 311-316.
- Ghodrati Amiri, G., Mahdavian, A., Manouchehri Dana, F., 2007. Attenuation relationships for Iran. J. Earthquake Eng. 11, 469-492.
- King, A., Kiremidndjian A., 1995. Law Lincho H., Basoz Nersin I, Earthquake Damage and loss Estimation through GIS. International conference on seismic zonation. 265-272.
- Lee, C.F., Ding, Y.Z., Huang, X.H., 2000. Seismic Hazard Analysis of the Hong Kong Region, JSEE: Fall 2000. 2(4), 9-18.
- Matsuoka, M., Midorikawa, S., 1995. GIS Based Integrated Seismic hazard mapping for a large Metropolitan Area. In International conference on seismic zonation. 1334-1341.
- Mohajer, A. Nowroozi, A. A. 1978. Observed and Probable Intensity Zoning of Iran. Tectonophysics. 49, 21-30.
- Nowroozi, A. A., 1985. Empirical Relations Between Magnitudes and Fault Parameters for Earthquakes in Iran. Bull. Seismol. Soc. Am. 75, 1327-1338.
- Yuan, Z., 2003. Development of A GIS Interface for Seismic hazard Assessment, International Institute For Geo-Information Science And Earth Observation Enschede, The Netherlands.